

شبیه‌سازی مستقیم جریان جت دوبعدی مغشوش به روش تفاضل محدود فشرده

محمد جواد مغربی^{۱*}، حسین ایزی^۲، احمد ضرغامی^۳

- دانشیار، گروه مکانیک، دانشکده مهندسی، دانشگاه فردوسی مشهد

- کارشناس ارشد مکانیک، دانشکده مکانیک، دانشگاه صنعتی شهرورد

- دانشجوی دکتری، دانشکده مکانیک، دانشگاه صنعتی شهرورد

*مشهد، صندوق پستی ۹۱۷۷۵-۱۱۱۱

^{*}mjmaghrebi@um.ac.ir

چکیده- در این پژوهش معادلات بی بعد شده ناوير استوکس در شکل چرخشی برای جت دوبعدی صفحه‌ای به روش مستقیم عددی حل شده است. با در نظر گرفتن توزیع سرعت در ورودی دامنه محاسباتی، از نیم عرض جت به عنوان طول مشخصه و از سرعت خط مرکزی به عنوان سرعت مشخصه به منظور بی بعد سازی استفاده شده است. معادلات حاکم با استفاده از روش تفاضل محدود فشرده، گسسته سازی شده و از نگاشت $(\zeta) = y - \beta \cot(\pi \zeta)$ به دامنه فیزیکی $y \leq 0$ - به دامنه محاسباتی $1 \leq \zeta \leq 0$ استفاده شده است. برای توسعه محاسبات در دامنه زمان از روش رانج کوتای فشرده مرتبه سوم استفاده و شرط مرزی خروجی با استفاده از مدل انتقالی تعیین شده است. از نتایج تحلیلی جریان سه بعدی کاملاً لزج استوکس و جریان ایدئال استوارت برای بررسی صحت نتایج استفاده شده است. در این مطالعه جریان جت مغشوش در دستگاه مختصات خود تشابه بررسی شده و توزیع شدت توربولانس و تنش رینولدز به دست آمده است. نتایج بیانگر رفتار غیرخودتشابهی لایه برشی است.

کلیدواژگان: جریان جت دوبعدی، اختلاف محدود فشرده، خود تشابهی، نیم عرض جت، سرعت خط مرکزی.

Direct Numerical Simulation of 2D Forced Jet using the Compact Finite Difference Method

M.J. Maghrebi^{1*}, H.Eazi², A.Zarghami³

1- Associate prof., Dept. of Mech. Eng., School of Engineering, Ferdowsi Uni. of Mashhad

2- Graduate student, Department of Mech. Eng., Shahrood University of Technology

3- Ph.D. candidate, Department of Mech. Eng., Shahrood Uni. of Tech., Shahrood

^{*}P.O.B. 91775-1111, mjmaghrebi@um.ac.ir

Abstract- The dimensionless form of Navier-Stokes equations for two dimensional jet flows are solved using direct numerical simulation. The length scale and the velocity scale of jet flow at the inlet boundary of computational domain are used as two characteristics to define the jet Reynolds number. These two characteristics are jet half-width and centerline velocity. Governing equations are discretized in streamwise and cross stream directions using a sixth order compact finite difference scheme and a mapped compact finite difference method, respectively. Cotangent mapping of $y = -\beta \cot(\pi \zeta)$ is used to relate the physical domain of y to the computational domain of ζ . The compact third order Runge-Kutta method is used for time-advancement of the simulation. convective outflow boundary condition is employed to create a non-reflective type boundary condition at the outlet. An inviscid Stuart flow and a completely viscous solutions of Navier Stokes equations are used for the verification of numerical simulations. Results for perturbed jet flow in self-similar coordinates were also investigated which indicate that the time-averaged statistics for velocity, vorticity, turbulence intensities and Reynolds stress distribution tend to collapse on top of each other at flow downstream locations.

Keywords: 2D Jet Flow, Compact Finite Difference, Jet Half-width, Jet Centerline

در این پژوهش معادله ناویر استوکس در شکل چرخشی به طور مستقیم شبیه‌سازی شده است. از روش اختلاف محدود فشرده برای مشتقات اول و دوم و برای پیشروی محاسبات در زمان از رانج کوتای فشرده مرتبه سوم استفاده شده است. در مرز ورودی توزیعی به شکل $y = \cosh^{-1}(U)$ قرار داده شده و در مرز خروجی از شرط مرزی جابه‌جایی استفاده شده است. از نتایج تحلیلی جریان سه بعدی کاملاً لزج استوکس و جریان ایدئال استوارت برای بررسی صحت نتایج استفاده شده است.

۲- معادلات حاکم

در این تحقیق شکل چرخشی معادلات ناویر استوکس به صورت مستقیم و بدون استفاده از هر گونه مدل‌سازی یا ساده‌سازی به صورت عددی تحلیل شده است. شکل بی‌بعد معادله ناویر استوکس برای جریان‌های تراکم‌ناپذیر به صورت زیر است:

$$\frac{\partial \vec{U}}{\partial t} + (\vec{U} \cdot \nabla) \vec{U} = -\nabla p + \frac{1}{Re} (\nabla^2 \vec{U}) \quad (1)$$

با توجه به اتحاد زیر:

$$\nabla(A \cdot B) = (B \cdot \nabla)A + (A \cdot \nabla)B + B \times (\nabla \times A) + A \times (\nabla \times B) \quad (2)$$

برای $A = B = \vec{U} = (U, V, W)$ داریم:

$$(\vec{U} \cdot \nabla) \vec{U} = \vec{\omega} \times \vec{U} + \frac{1}{2} \nabla (\vec{U} \cdot \vec{U}) \quad (3)$$

که در آن $\vec{\omega} = (\omega_x, \omega_y, \omega_z)$. اگر معادله (۳) در معادله (۱) جایگزین شود معادله زیر به دست می‌آید:

$$\frac{\partial \vec{U}}{\partial t} = \vec{H} - \nabla(p + \frac{1}{2} \vec{U} \cdot \vec{U}) + \frac{1}{Re} (\nabla^2 \vec{U}) \quad (4)$$

که در آن $\vec{H} = (H_x, H_y, H_z) = \vec{\omega} \times \vec{U}$. با اعمال عملگر کرل به دو سمت معادله (۴)، داریم:

۱- مقدمه

جریان جت دو بعدی حالت پایدار به کمک تئوری لایه مرزی توسط شلیختینگ [۱] و یکلی [۲] تحلیل شده است. آنها توزیع سرعت جریان را به دست آوردند و نتایجی را درباره چگونگی تناسب بین سرعت خط مرکزی و نیم عرض جت نسبت به جهت جریان رائمه کردند.

حل عددی جریان آرام در یک چهارم سطح توسط انصاری، شیشکین و هگارتی [۳] انجام شده است. آنان ارتباط لزج سینماتیک با طول اصلی جریان را بررسی و تابع جریان را به صورت تابعی از x و y معرفی کردند. روش مشاهای شیشکین به وسیله انصاری [۴] به طور کامل مطالعه شد. وی به بررسی جت آرام دو بعدی غیر قابل تراکم براساس این روش و طرح مش یکنواخت تکه‌ای پرداخته و با مقایسه نتایج به دست آمده با نتایج تئوری شلیختینگ [۱] خطاهای را بررسی کرده و با توجه به تغییرات لزج سینماتیکی به بررسی خطاهای پرداخته است.

جهت‌های آرام صفحه‌ای و مقارن مرکزی به کمک تکنیک SFC (روشی مبتنی بر استفاده از تابع جریان به صورت نوعی مختصات) توسط تسوکیجی [۵] و تاکاشی [۶] و زاربی [۷] بررسی شده و توافق خوبی در مقایسه با نتایج تئوری به دست آمده است.

حل جریان جت صفحه‌ای تراکم‌ناپذیر به کمک روش‌های مستقیم عددی، DNS ^۱ و حل لاگرانژ مستقیم مونت کارلو، $DSMC$ توسط مرگان و آرمفیلد [۸] انجام و این دو روش مقایسه شد. در هر دو روش مشخص شده که سرعت جت در جهت اصلی جریان با $x^{-1/2}$ و $y^{-1/2}$ است. همچنین با مقایسه این دو روش مشخص شد که DNS سریعتر همگرا می‌شود. جزئیات بیشتر در مورد شبیه‌سازی مستقیم عددی جریان جت در [۹ و ۱۰] آورده شده است.

۱- Direct Numerical Simulation

$$\frac{\partial}{\partial t} \nabla^r u = \frac{\partial^r H_1}{\partial y^r} - \frac{\partial^r H_r}{\partial x \partial y} + \frac{1}{Re} \nabla^r U \quad (11)$$

$$\frac{\partial(\nabla \times \dot{U})}{\partial t} = \nabla \times \dot{H}^r - \nabla \times \nabla(p + \frac{\dot{U}^r \dot{U}}{2}) + \frac{1}{Re} \nabla^r (\nabla \times \dot{U}^r) \quad (5)$$

با توجه به اینکه $\nabla \times \nabla(scalar) = 0$ ، معادله (۵) به رابطه زیر تبدیل می‌شود:

$$\frac{\partial \dot{\omega}}{\partial t} = \nabla \times \dot{H}^r + \frac{1}{Re} \nabla^r \dot{\omega}^r \quad (6)$$

با اعمال مجدد عملگر کرل به دو سمت معادله (۶) معادله زیر به دست می‌آید:

$$\frac{\partial \nabla \times (\nabla \times \dot{U})}{\partial t} = \nabla \times (\nabla \times \dot{H}^r) + \frac{1}{Re} \nabla^r (\nabla \times (\nabla \times \dot{U}^r)) \quad (7)$$

با توجه به معادله پیوستگی $(\nabla \cdot \dot{U} = 0)$ و با اعمال رابطه زیر:

$$\nabla \times (\nabla \times \dot{U}) = \nabla(\nabla \cdot \dot{U}) - \nabla^r \dot{U}^r \quad (8)$$

معادله (۷) به معادله زیر تبدیل می‌شود:

$$\frac{\partial \nabla^r \dot{U}}{\partial t} = -\nabla \times (\nabla \times \dot{H}^r) + \frac{1}{Re} \nabla^r \dot{U}^r \quad (9)$$

که در آن $\dot{H}^r = (H_1, H_r, H_{rr}) = \dot{U}^r \times \dot{\omega}$ جمله‌های غیرخطی است.

مزیت استفاده از این شکل معادلات ناویر استوکس، کاهش تعداد متغیرهای مستقل و در نتیجه کاهش فضای حافظه مورد نیاز و همچنین نیاز نداشتن به تعیین فشار در مرزهای مسئله است. البته بهایی که برای این دو مزیت پرداخته می‌شود، تغییر مرتبه معادله دیفرانسیل حاکم از دو به چهار است [۹].

با جداسازی سرعت لحظه‌ای به صورت زیر [۱۱]:

$$U(x, y, t) = u(x, y, t) + U_r(y) \quad (10)$$

$$V(x, y, t) = v(x, y, t)$$

و با در نظر گرفتن اولین مؤلفه معادله (۹) در جهت اصلی جريان (x) و در حالت دو بعدی معادله زیر به دست می‌آيد. برای اطلاعات بیشتر به [۱۱] مراجعه شود:

۳- شرایط مرزی و شرط اولیه

معادله (۱۱) معادله‌ای مرتبه چهار بوده و به اعمال چهار شرط مرزی نیاز دارد. مقادیر U در مرزهای ورودی و خروجی دامنه محاسباتی به عنوان شرط مرزی دریشله مشخص می‌شوند. همچنین با توجه به معادله پیوستگی، $\partial u / \partial x$ در مرزهای ورودی و خروجی دامنه محاسباتی به عنوان شرط مرزی نیومن مشخص و معروفی می‌شود. در شبیه‌سازی، سرعت پایه (y, U) (یکی از مؤلفه‌های سرعت لحظه‌ای در جهت اصلی جريان) با توزیع $y = 1 / \cosh^{-1} U$ مطابق نتایج تحلیلی شلیختینگ [۱] برقرار می‌شود.

در مرز خروجی از شرط مرزی جابه‌جایی به کار برده شده توسط تروسیلا [۱۲] استفاده شده است. در مرز خروجی نباید هیچ گونه برگشت جريان به داخل دامنه مشاهده شود. از معادله جابه‌جایی برای تولید شرط مرزی دریشله برای هر دو مؤلفه سرعت استفاده شده که معادله آن به صورت زیر است:

$$\frac{\partial \psi}{\partial t} = -c \frac{\partial \psi}{\partial x} \quad (12)$$

در این معادله، مؤلفه‌های سرعت u و v جایگزین ψ می‌شود. c سرعت موج یا سرعت جريان در جهت اصلی در مرز خروجی است. به بیان دیگر، c سرعت جابه‌جایی ساختارهای با مقیاس بزرگ^۱ درون لایه است. هدف از کاربرد این شرط مرزی آن است که به سیال اجازه داده شود در وضعیتی طبیعی دامنه محاسباتی را ترک کند. بنابراین c به صورت سرعت متوسط جريان معرفی می‌شود.

1. Large scale structure

۷. با مشخص شدن R ، معادله پواسون بالا در شکل گسته حل می‌شود. حل این معادله در شکل ماتریسی به شکل $C = A \Delta u + \Delta u B$ است که بر طبق الگوریتم بارتلز [۱۳]، مقدار Δu از آن استخراج می‌شود.
۸. با مشخص شدن Δu ، که تفاضل u در دو زیر مرحله زمانی است، u جدید بدست می‌آید.
۹. کلیه مراحل بالا برای یک زیر دامنه زمانی است که از u تولید شده در مرحله قبل به عنوان شرط اولیه مرحله جدید استفاده می‌شود.

۱-۴- محاسبه مشتقات مادی

مشتقات مادی با به کار بردن طرح اختلاف محدوده فشرده استاندارد لیله [۱۴] محاسبه شده است. لیله مشتق اول تابع $f(x)$ را به طور ضمنی با معادله زیر توصیف کرده است:

$$\alpha f'_{j-1} + f'_j + \alpha f'_{j+1} = \frac{\alpha + 2}{2h} (f_{j+1} - f_{j-1}) + \frac{4\alpha - 1}{12h} (f_{j+2} - f_{j-2}) \quad (12)$$

که علامت پریم مشتق اول، j تعداد گره $Nx = J - 1$ و $h = \Delta x = Lx/Nx$ که در آن $1 \leq j \leq J$ اگر در این معادله، $\alpha = 1/4$ یا $\alpha = 1/3$ یا $\alpha = 1/2$ قرار داده شود، طرحهایی با مرتبه خطای چهارم و ششم بدست خواهد آمد. در مرزها یعنی جایی که $j = 1$ یا J یا $j = N$ نوعی طرح مرتبه سوم یک طرفه ضمنی استفاده شده است:

$$f'_1 + 2f'_2 = \frac{1}{2h} (-5f_1 + 4f_2 + f_3) \quad (13)$$

$$f'_J + 2f'_{J-1} = \frac{1}{2h} (5f_J - 4f_{J-1} - f_{J-2}) \quad (14)$$

توزیع سرعت متوسط $y = U/\cosh^{-1}(U)$ به طور یکنواخت در تمامی ایستگاههای x ، شرط اولیه برای جریان دو بعدی جت غیراجباری است. از همین شرط برای شرط اولیه جریان اجباری جت استفاده می‌شود. براساس مطالعات آماری، این شرط اولیه برای شبیه‌سازی جریان اجباری و غیراجباری جت مناسب است. به بیان دیگر، هر ذره در ورودی ($x = 0$)، باید مجاز به خروج از مرزها ($x = L_x$) باشد. جریان جت همچنین باید به حالت ایستای آماری^۱، هنگامی که مؤلفه‌های سرعت متوسط، مستقل از زمان باشند، برسد.

۴- مراحل محاسبات

الگوریتم حل معادله ناویر استوکس با توجه به چهار شرط مرزی و یک شرط اولیه در زیر توضیح داده شده است:

۱. با توجه به شرط اولیه مشخص برای u ، از معادله پیوستگی می‌توان مقدار v را محاسبه کرد.
۲. با توجه به اینکه $\nabla \times U = \omega$ و برای حالت دو بعدی داریم $\omega_x = 0$ و $\omega_y = 0$ ولذا مقدار $\omega_z = \omega = \frac{\partial V}{\partial x} - \frac{\partial U}{\partial y}$ حساب می‌شود.

۳. بنا به تعریف $H = U \times \omega$ که برای حالت دو بعدی $H_z = -U \cdot \omega$ و $H_y = V \cdot \omega$ و در نتیجه $H_z = 0$.

۴. محاسبه جملات غیرخطی در معادله ناویر استوکس

$$\text{که به شکل } \frac{\partial^2 H_1}{\partial y^2} - \frac{\partial^2 H_2}{\partial x \partial y} \text{ است.}$$

۵. محاسبه جملات لزجتی که به شکل $\frac{1}{Re} \nabla^4 U$ است.

۶. پس از محاسبه سمت راست معادله (۱۱)، به روش رانج کوتای مرتبه سوم، سمت راست معادله پواسون

$$\nabla^2 u = R \text{ محاسبه می‌شود.}$$

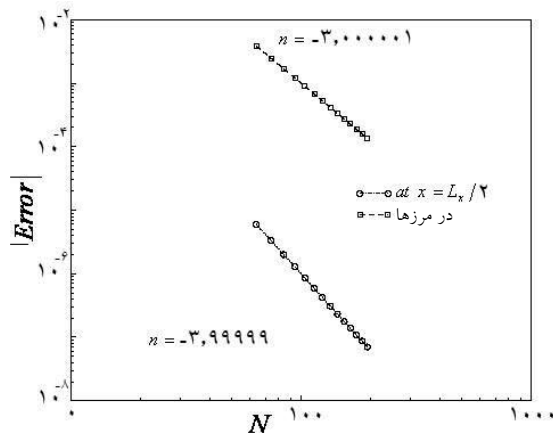
2. Implicitly

1. Statistical stationary

روش مشابهی را می‌توان برای گره J به کار برد:

$$f_J'' + 4f_{J-1}'' = \frac{3}{h} \left(\frac{df}{dx} \right)_{x=L_x} - \frac{3}{4h^2} (f_J - f_{J-2}) \quad (20)$$

نزدیک مرزها که $= j$ و $-1 = J$ ، از طرح اختلاف محدوده فشرده مرتبه دوم استفاده شده که با جايگزيني $\alpha = 1/10$ در معادله (15) به دست می‌آيد. ميزان خطأ در شكل ۱ برای گره‌های مرزی و داخلی ترسیم شده است [۱۱]. برای محاسبه مشتقات چهارم می‌توان عملگر مشتق دوم را دو بار اعمال کرد که بدین ترتیب جمله‌های لزجتی موجود در سمت راست معادله ناويز استوکس محاسبه می‌شوند.



شكل ۱ مرتبه خطأ در محاسبه مشتق دوم با استفاده از روش تفاضل محدود فشرده [۱۱].

۲-۴- روش محدودسازی دامنه y
جريان جت، جريانی آزاد و دور از مرزهای صلب است، در نتیجه در جهت y نباید هيچگونه محدوديت مادي داشته باشيم، يعني $y \leq \infty$ است. برای گنجاندن y در دامنه محاسباتی از نوعیتابع يکبه يک مثلثاتي استفاده می‌کنیم تا مختصات فیزیکی y به مختصات

در همسایگی مرزها یعنی در $j = 1$ یا $J = j - 1$ ، از معادله (۱۲) به ازای $\alpha = 1/4$ استفاده می‌شود. همان‌طور که لیله بحث کرده است، با قرار دادن $\alpha' = (16\alpha + 32)/(40\alpha - 1)$ به جای α در معادله (۱۲) برای گره‌های $2 = j$ و $-2 = J - j$ می‌توان پایداری عددی معادله $\frac{\partial u}{\partial t} = \frac{\partial}{\partial x} f(u)$ را تضمین نمود.

برای محاسبه مشتق دومتابع $f(x)$ ، از طرح اختلاف محدود فشرده با دقت مرتبه چهارم استفاده شده است:

$$\begin{aligned} \alpha f_{j-1}'' + f_j'' + \alpha f_{j+1}'' &= \frac{4(1-\alpha)}{4h^2} (f_{j+1} - 4f_j + f_{j-1}) \\ &+ \frac{10\alpha - 1}{12h^2} (f_{j+2} - 4f_j + f_{j-2}) \end{aligned} \quad (15)$$

که در آن $\alpha = 1/4$. در اینجا مسئله ناهنجاری نیز مورد توجه قرار گرفته و معادله در $1/\alpha$ ضرب شده است. در مرزها از طرح مرتبه سوم یکطرفه ضمنی استفاده شده است:

$$f_1'' + 14f_2'' = \frac{1}{h^2} (13f_1 - 27f_2 + 15f_3 - f_4) \quad (16)$$

$$\begin{aligned} f_J'' + 14f_{J-1}'' &= \\ \frac{1}{h^2} (13f_J - 27f_{J-1} + 15f_{J-2} - f_{J-3}) & \end{aligned} \quad (17)$$

با مشتق گیری از معادله (۱۳) معادله زیر به دست می‌آید:

$$\begin{aligned} f_1'' + 4f_2'' &= \frac{1}{4h} (-5f_1' + 4f_2' + f_3') = \\ -\frac{3}{h} f_1' + \frac{1}{4h} (f_1' + 4f_2' + f_3') & \end{aligned} \quad (18)$$

اگر جمله سمت راست معادله (۱۸)، با معادله (۱۲) در حالت $\alpha = 1/4$ جايگزين شود، معادله زير به دست می‌آيد:

$$f_1'' + 4f_2'' = \frac{-3}{h} \left(\frac{df}{dx} \right)_{x=0} - \frac{3}{4h^2} (f_1 - f_3) \quad (19)$$

$$\frac{\partial v}{\partial y} + \frac{\partial u}{\partial x} = 0. \quad (27)$$

$$\frac{\partial v}{\partial y} = -\frac{\partial u}{\partial x} \quad (28)$$

چنانچه از طرح اختلاف محدود فشرده استفاده شود، ماتریس سمت راست معادله (۱۲) دارای عناصر صفر روی قطر اصلی است و لذا نمی‌توان به انتگرال‌گیری پرداخت. برای حل این مشکل با مشتق‌گیری از دو سمت معادله برحسب y ، معادله زیر به دست می‌آید:

$$\frac{\partial^2 v}{\partial y^2} = -\frac{\partial^2 u}{\partial x \partial y} \quad (29)$$

با وجود دو شرط مرزی برای v به صورت $v = \pm\infty \rightarrow y = 0$ این معادله به شکل زیر حل می‌شود [۱۱].

چنانچه از معادله (۲۴)، به جای سمت چپ معادله (۲۹) و برای $\zeta = d^2 v / d y^2$ و $\zeta = dv / d y$ از معادل آن مطابق طرح اختلاف محدود فشرده استفاده شود، آنگاه می‌توان با اعمال شرایط مرزی $v(x, y = \pm\infty, t) = 0$ حل را انجام داد.

۴-۴- پیشروی در زمان

طرح اختلاف زمانی رانج کوتای مرتبه سوم فشرده به وسیله رای [۱۵] بیان شده است که برای پیشروی زمانی به کار می‌رود. برای پیشروی زمانی معادله‌ای به صورت معادله (۳۰)، مطابق جدول ۱ می‌توان فرایند را انجام داد:

$$\frac{\partial u}{\partial t} = R(u) \quad (30)$$

برای پیشروی زمانی معادله مدل فوق به اندازه Δt ، سمت راست معادله باید در سه مرحله زمانی محاسبه

محاسباتی $1 \leq \zeta \leq 0$ تبدیل شود. فواصل گره‌ها در مجموعه محدود شده یک اندازه و یکنواخت است، اما در مجموعه فیزیکی، این فواصل مساوی نیستند و در ناحیه مرکزی جریان بیشتر متمرکزند. رابطه مورد استفاده بین مکان گره‌های موجود در مجموعه محاسباتی و مجموعه فیزیکی به وسیله معادله زیر توصیف شده است [۱۱]:

$$y = -\beta \cot(\pi \zeta) \quad (21)$$

که β پارامتر مربوط به کنترل میزان کشیدگی و انقباض شبکه است. برای مشتق‌گیری تابع f نسبت به y از قانون زنجیره‌ای به صورت زیر استفاده می‌شود:

$$\frac{df}{dy} = \frac{df}{d\zeta} \times \frac{d\zeta}{dy} = \frac{2}{\pi\beta} \cos^2(\pi\zeta/2) \frac{df}{d\zeta} \quad (22)$$

با برابر قرار دادن $(2/\pi\zeta) \cos^2(\pi\zeta/2) = \lambda$ رابطه فوق به صورت زیر نوشته می‌شود:

$$\frac{df}{dy} = \lambda \frac{df}{d\zeta} \quad (23)$$

برای محاسبه مشتق دوم نیز به شکل مشابه عمل می‌شود:

$$\frac{d^2 f}{dy^2} = \lambda \frac{d^2 f}{d\zeta^2} + \lambda \frac{df}{d\zeta} \quad (24)$$

$$\lambda = \lambda' \quad (25)$$

$$\lambda' = -\frac{4}{\pi\beta} \sin(\pi\zeta/2) \cos^2(\pi\zeta/2) \quad (26)$$

۴-۴- انتگرال‌گیری از معادله پیوستگی

با حل معادله (۹) می‌توان $u(x, y, t)$ را به دست آورد. برای محاسبه سرعت در جهت عرضی v از معادله پیوستگی استفاده می‌شود:

۵-۴- حل معادله پواسون

پس از محاسبه سمت راست معادله ناوي استوکس و پيشروي در زمان، مقدار $\nabla^2 u$ به دست مي آيد. لذا داريم:

$$\nabla^2 u = C \quad (32)$$

كه C معلوم و u مجهول است. با بسط اين معادله

$$\nabla^2 u = \frac{\partial^2 u}{\partial x^2} + \frac{\partial^2 u}{\partial y^2} = C \quad (33)$$

و جايگزين کردن عملگرهای مشتقات دوم در جهت های x و y معادله زير در شكل گستته به دست می آيد [۱۱]:

$$(D^2 X u^T)^T + D^2 Y u = C \quad (34)$$

توجه کنيد که برای اعمال عملگر مشتق دوم در جهت X باید تابع مورد نظر را ترانهاده و سپس در ماترييس عملگر $D^2 X$ ضرب کرده و سپس از نتيجه ضرب دو ماترييس ترانهاده گرفته شود. با توجه به اين که:

$$(ST)^T = T^T S^T \quad (35)$$

معادله (۳۴) به معادله زير تبديل می شود:

$$u^T D^2 X^T + D^2 Y u = C \quad (36)$$

روش حل معادله ماتريسي $AX + XB = C$ توسيط بارتلز [۱۳] ارائه شده که در آن $A = D^2 Y$ و $B = D^2 X^T$ می باشد.

۵- ارزیابی نتایج

به منظور ارزیابی صحت شبیه سازی ها، نتایج به دست آمده با بعضی از حل های دقیق معادله ناوي استوکس در حالت های خاص مقایسه شده است.

شود. در هر يك از اين مراحل زمانی، زمان به اندازه $(c_i + d_i)\Delta t$ پيش مي رود و u به وسیله يك تركيب خطی از R در مرحله زمانی حال و مرحله زمانی گذشته محاسبه می شود. پس از گذشت مرحله سوم، زمان به اندازه Δt پيش رفته و مقدار u محاسبه شده برابر با مقدار u پس از گذشت يك Δt زمانی است. از مساوی قرار دادن ضرایب حاصل از سری تیلور با ضرایب طرح داریم:

$$c_1 + c_2 + c_3 + d_1 + d_2 + d_3 = 1$$

$$c_1 c_2 + c_2 (c_1 + c_3 (1 + \frac{d_2}{c_2})) + c_3 d_2 = 1/3$$

$$c_1 c_2 c_3 + c_2 (\frac{d_1}{c_1} (1 + \frac{d_2}{c_2}) + c_3 (1 + \frac{d_3}{c_3})) = 1/2$$

$$c_1 c_2 c_3 = 1/6$$

ضرایب برای يك خانواده از حل فوق با $d_1 = 0$ به صورت زير به دست می آيد.

$$c_1 = 8/15 \quad d_1 = 0$$

$$c_2 = 5/12 \quad d_2 = -17/60$$

$$c_3 = 3/4 \quad d_3 = -5/12$$

جدول ۱ طرح پيشروي زمانی رانج کوتای مرتبه سوم

زمان	اولین موقعیت	دومین موقعیت
t^n	u^n	$R(u^n)$
$t' = t^n + (c_1 + d_1)\Delta t$	$u' = u^n + c_1 \Delta t R$	$R' = R(u')$
$t'' = t' + (c_2 + d_2)\Delta t$	$u'' = u' + (c_2 R' + d_2 R) \Delta t$	$R'' = R(u'')$
$t^{n+1} = t'' + (c_3 + d_3)\Delta t$	$u^{n+1} = u'' + (c_3 R'' + d_3 R') \Delta t$	

۲-۵- گردابه‌های استوارت

حل دقیق برای معادله ناویر استوکس غیر لزج برای لایه‌های اختلاطی دو بعدی به وسیله استوارت [۱۶] ارائه شده است. جریان در جهت اصلی جریان متناسب بوده و با سرعت متوسط لایه c ، به سمت پایین دست جریان حرکت می‌کند. حل به شکل تابع جریان ψ که به ترتیب زیر به مؤلفه‌های

$$v = -\frac{\partial \psi}{\partial x} \quad u = \frac{\partial \psi}{\partial y}$$

سرعت

$$\begin{aligned} \psi(x, y, t) = \\ cy + \ln(a \cosh(y - y_0) + b \cos(x - ct)) \end{aligned} \quad (38)$$

که در آن $a^2 = b$. به سادگی می‌توان نشان داد که معادله بالا، معادله جابه‌جاوی را ارضامی کند که c سرعت جابه‌جاوی موج است. بنابراین حل استوارت می‌تواند برای ارزیابی صحت شرط مرزی خروجی جابه‌جاوی به کار رود. در این تست تشکیل جمله لرج بررسی نمی‌شود اما تشکیل جمله‌های غیرخطی و پیشروع محاسبات در زمان به خوبی ارزیابی می‌گردد. مؤلفه‌های سرعت v, u و همچنین مؤلفه ورتیسیتی ω ، با مشتق‌گیری از رابطه فوق به دست می‌آیند [۱۱]:

$$u = \frac{\partial \psi}{\partial y} = c + \frac{a \sinh(y - y_0)}{a \cosh(y - y_0) + b \cos(x - ct)} \quad (39)$$

$$v = -\frac{\partial \psi}{\partial x} = \frac{b \sin(x - ct)}{a \cosh(y - y_0) + b \cos(x - ct)} \quad (40)$$

$$\omega = \frac{1}{[a \cosh(y - y_0) + b \cos(x - ct)]^2} \quad (41)$$

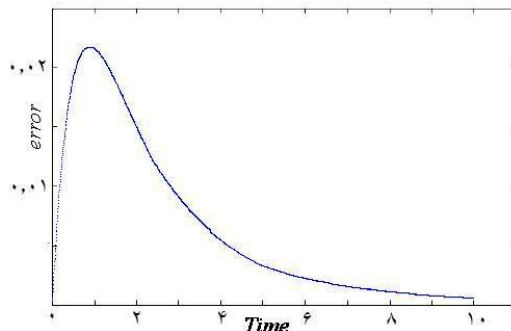
شکل ۳ دقت حل وابسته به زمان را برای u و v نشان می‌دهد.

۱-۵- معادله دیفیوژن وابسته به زمان

حل عددی معادله ناویر استوکس با حل تحلیلی معادله دیفیوژن ارزیابی گردید. معادله دیفیوژن مربوط به حالتی است که $H = 0$. یک حل خاص برای معادله دیفیوژن به صورت زیر است [۱۱]:

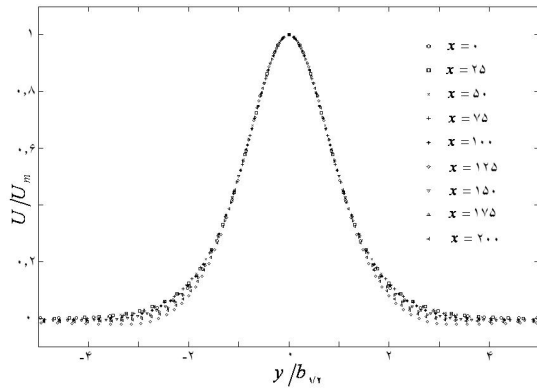
$$\begin{aligned} u(x, y, t) = \cos(x) \times \frac{y - 1}{(1 + \frac{4t}{Re})^{1.0}} \\ \times \exp(-2t/Re) \times \exp\left(-\frac{(y - 1)^2}{(1 + \frac{4t}{Re})}\right) \end{aligned} \quad (37)$$

برای این مقایسه باید از معادله فوق برای تولید شرط مرزی و شرط اولیه استفاده شود. در نتیجه شرط مرزی خروجی جابه‌جاوی و تشکیل جمله‌های غیرخطی در این مقایسه نمی‌توانند ارزیابی شوند. اما حل معادله پواسون و کیفیت پیشرفت در زمان را می‌توان ارزیابی کرد. توجه شود که u شرط پایداری را ارضامی کند و حل را می‌توان برای شبیه‌سازی جریان جت کاملاً لزج استفاده کرد. پارامترهای این آزمایش $L_x = 2\pi/3$ و $\beta = 4$ و $Re = 10$ و $t = 20$ و $Nx = 45$ و $Ny = 40$ است. شکل ۲ دقت حل وابسته به زمان را برای u نشان می‌دهد.



شکل ۲ تحلیل خطای u در معادله دیفیوژن وابسته به زمان

عرض جت) و u با U_m (سرعت خط مرکزي) بى بعد شده است.

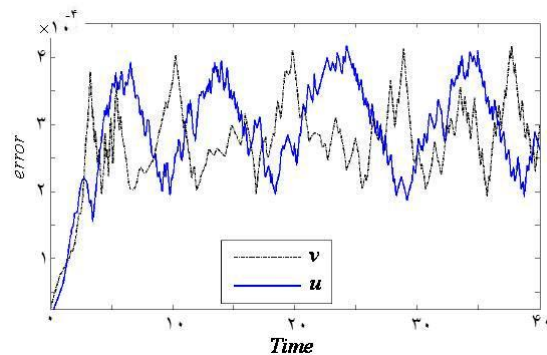


شکل ۵ توزيع سرعت u در مختصات خود تشابه برای شبیه‌سازی جت دوبعدی آرام

۶- شبیه‌سازی جريان جت دوبعدی آرام ($Re=300$)

برای مطالعه جت دوبعدی مغشوش، جريان جت را در حالتی توسعه می‌دهيم که يك اغتشاش در ورودي قرار داده می‌شود. اين اغتشاش در اصل تابع ويرژه سرعت در جهت y حاصل از حل معادله اورسامرفيلد و تحليل پايداري خطى جريان جت [۱۷] است که فقط برای توزيع v به كار بردء می‌شود.

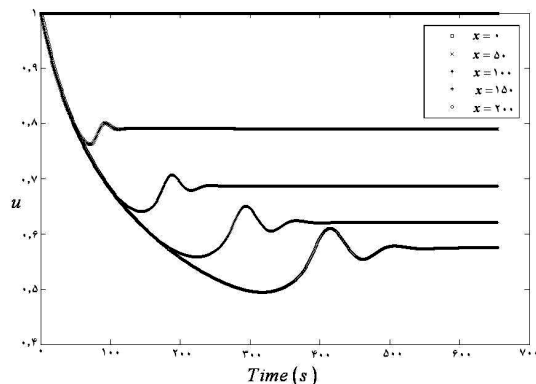
مؤلفه‌های اغتشاش u و v از ناپايدارترین مود حاصل از حل معادله پايداري دو مود ناپايداری به دست می‌آيند. سرعت لحظه‌اي در شبیه‌سازی همراه با اغتشاشها باید به حالت سكون (پايدار) برسد و در واقع سرعت متوسط مستقل از زمان می‌شود. به عنوان نمونه، گذر زمانی v در سه فاصله مساوی در جهت طول L_x در شکل ۶ نشان داده شده است. با توجه اين شکل مشاهده می‌شود که مؤلفه‌های سرعت v به حالت پايدار و ايستا رسيده‌اند. همچنين با توجه به اين شکل مشخص است که لايه



شکل ۳ تحليل خطى برای u و v مقایسه با حل تحليلي استوارت.

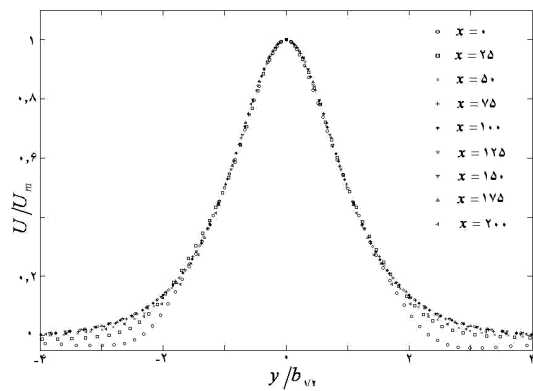
۶- شبیه‌سازی جريان جت دوبعدی آرام ($Re=300$)

برای شبیه‌سازی جريان جت آرام باید سرعت به حالت پايدار و ثابت در هر مكان برسد. اين موضوع در شکل ۴ برای مؤلفه u نشان داده شده است اين شکل تاريچجه مؤلفه سرعت u را در پنج ايستگاه با فاصله مساوی در جهت جريان نشان می‌دهد.

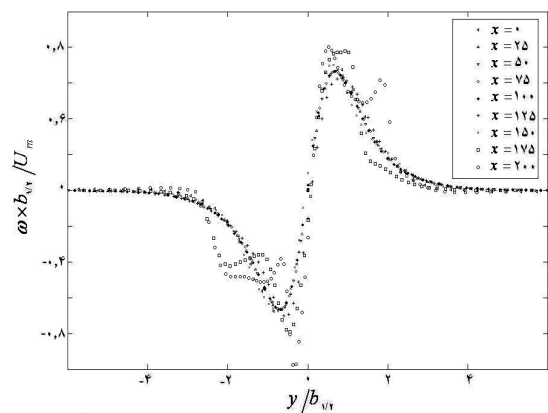


شکل ۴ گذر زمانی u در پنج فاصله مساوی در طول L_x برای شبیه‌سازی جت دوبعدی بدون اغتشاش ورودي

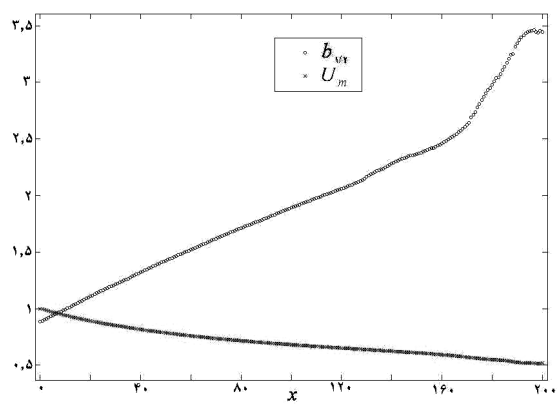
در شکل ۵ توزيع سرعت جت در حالت بى بعد و در مقاطع مختلف نشان داده شده که در آن y با b_{w1} (نیم



شکل ۷ توزیع سرعت U در مختصات خود تشابه برای شبیه‌سازی جت دوبعدی همراه با اغتشاش ورودی



شکل ۸ توزیع گرادابه W در مختصات خود تشابه برای شبیه‌سازی جت دوبعدی همراه با اغتشاش ورودی

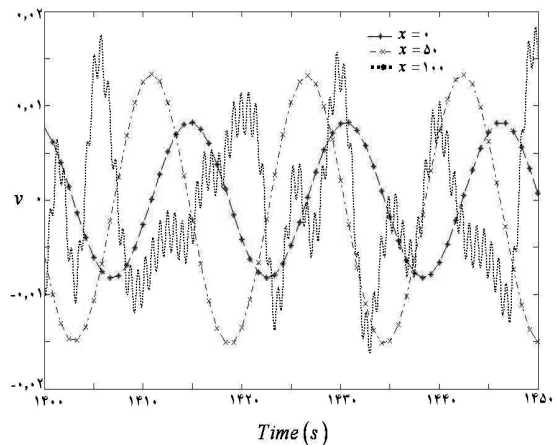


شکل ۹ سرعت خط مرکزی U_m و نیم عرض جت برای x

برشی متناوب است که اغتشاش اعمال شده در مرز ورودی دامنه محاسباتی دلیل آن است.

شکل‌های ۷ و ۸ نتایج شبیه‌سازی را برای سرعت متوسط در جهت جریان اصلی و گردابه در مقاطع مختلف، در مختصات خود تشابه نشان می‌دهد. در این شکل به خوبی می‌توان پدیده خود تشابه‌ی را برای سرعت متوسط و گردابه مطالعه کرد. دیده می‌شود که در حالت مغشوش، جریان، رفتار خود مشابه از خود نشان نمی‌دهد، که این ناشی از اعمال اغتشاشها در مرز ورودی است.

در شکل ۹ چگونگی توسعه سرعت متوسط خط مرکزی و نیم عرض جت با توجه به جهت جریان نشان داده شده است. در شکل‌های ۱۰ و ۱۱ پارامترهای شدت توربولانس و در شکل ۱۲ توزیع تنش رینولدز نشان داده شده است. همان‌طور که در شکل مشخص شده با دور شدن از مرز ورودی، این تنش‌ها افزایش می‌یابد، که این رفتار، با دیگر بیانگر رفتار غیرخود تشابه در جریان جت است.



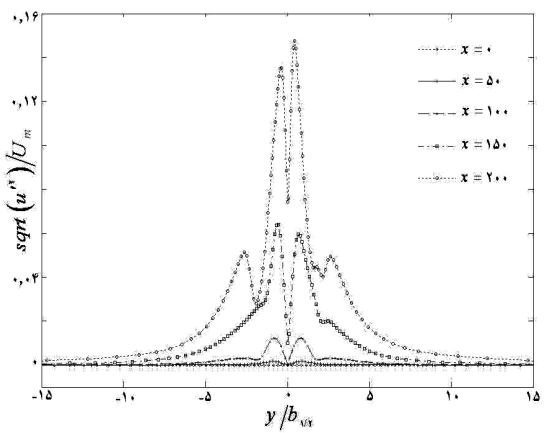
شکل ۶ گذر زمانی ۷ در سه فاصله مساوی در طول L_X برای شبیه‌سازی جت دوبعدی همراه با اغتشاش ورودی

۸- نتیجه‌گيري

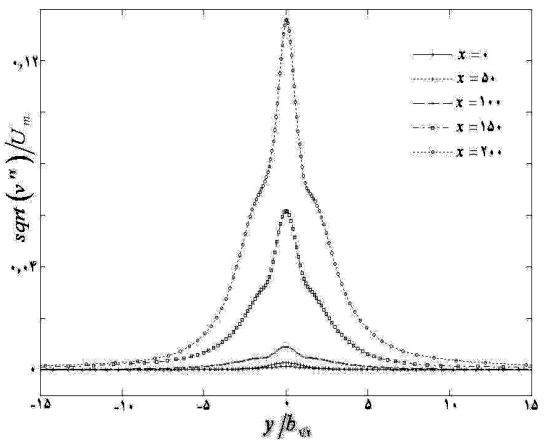
در اين پژوهش، جريان جت دو بعدی تراکم ناپذير به کمک حل مستقیم عددی معادله ناوي استوکس در شكل چرخشی مطالعه شد. دقت مناسب اين روش با بررسی و ارزیابی دو جواب تحلیلی ارزیابی گردید. نتایج نشان می دهند که شبیه سازی انجام شده برای جريان کاملاً لزج و ایدئال، پاسخ مطلوب و قابل قبولی را ارائه می کند. جريان جت آرام بررسی و توزیع سرعت در مقاطع مختلف در جهت جريان ترسیم شد. در مقادیر متوسط عدد رینولدز ($Re=300$) و بدون هیچ گونه اغتشاشی در ورودی نیز جريان جت بررسی شد و توزیع سرعت در مقاطع مختلف در جهت اصلی جريان به دست آمد. همچنین چگونگی کاهش سرعت خط مرکزی با پیشروی در جهت جريان ترسیم و نشان داده شد که اين پارامتر با $x^{-1/3}$ متناسب است. رابطه نیم عرض جت با پیشروی در جهت جريان نیز تناسب $x^{2/3}$ را نشان داد که اين تناسب، با نتایج ثوري و عددی توافق خوبی دارد. همچنین مقادير تنش رینولدز در حالت بی بعد برای جريان جت مغلوش به دست آمد و دیده شد که با دور شدن از مرز ورودی، مقادير اين تنشها بيشتر شده و منجر به بروز رفتار غير خود مشابه در مؤلفه هاي سرعت و ورتیسيته جريان جت می شود.

۹- منابع

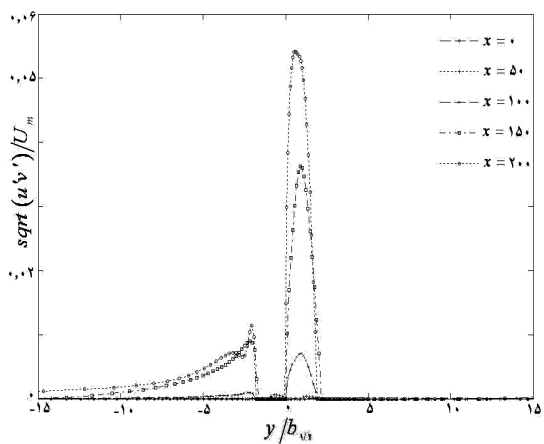
- [1] Schlichting, H., "Boundary-layer Theory", 8th ed., Springer-Verlag, 2000.
- [2] Bickley, W., "The Plane Jet", Phil. Mag. Ser.7, 23, 1939, pp727-731.
- [3] Ansari, A.R., Hegarty, A.F., Shishkin, G.I., "Parameter-uniform numerical methods for a laminar jet problem, International Journal for Numerical Methods in Fluids 43, 2003, pp937-951.



شکل ۱۰ تغييرات $\sqrt{u'}/U_m$ در برابر تغييرات y/b_{01}



شکل ۱۱ تغييرات $\sqrt{v'}/U_m$ در برابر تغييرات y/b_{01}



شکل ۱۲ تغييرات $\sqrt{u'v'}/U_m$ در برابر تغييرات y/b_{01}

- [11] M.J. Maghrebi, "A Study of the Evolution of Intense Focal Structures in Spatially-Developing Three-Dimensional Plane Wakes", PhD thesis, Department of Mechanical Engineering, Monash University, Melbourne, Australia, 1999.
- [12] Monica de mier torrecilla, "Introduction to Numerical Simulation of Fluid Flows", Technical University of Munich, 2004.
- [13] Bartles. R.H., Stewart. GW, "Solution of the Matrix Equation $AX+XB=C$ [F4]", Communications of the ACM, Vol 15, Number 9, 1972.
- [14] Lele. S.K., "Compact Finite Difference Scheme with Spectral-Like Resolution", Journal of Computational Physics, 103, 1992, pp16-42.
- [15] Wray. A., Hussaini. M.Y., "Numerical Experiments in Boundary Layer Stability", Proc. R. Scotland.A, vol. 392, 1984, pp373-389.
- [16] Stuart. J. T., "On finite amplitude oscillations in laminar mixing layer", Journal of fluid mechanics, 29. (3), 1967, pp417-440.
- [17] سلمانی ماهینی، الف. "تحلیل پایداری خطی جریان جت"، پایان نامه کارشناسی ارشد، دانشکده مکانیک، دانشگاه صنعتی شاهرود. ۱۳۸۴.
- [4] Ansari. A.R., "Shishkin Meshes and their Applications", Department of Mathematics, Gulf University for Science & Technology, Winter Conference in Mathematics, 2004, Hawally 32093, P.O. Box 7207, Kuwait.
- [5] Tsukiji.T., Takahashi.K, "Numerical analysis of an axisymmetric jet using a streamline coordinate system", JSME Intl. J., Vol. 30, 1987, pp1406-1413.
- [6] Takahashi. K., Tsukiji. T., "Numerical analysis of a laminar jet using a streamline coordinates system", Transactions of the CSME, Vol 9, 1985, pp65-170.
- [7] Zarbi. G., Takahashi. K., "Prediction of the laminar two-dimensional jet flow through a convergent channel", JSME Intl. J., Series II, Vol. 24, 1991, pp115-121.
- [8] Morgan. P. L., Auld. D., Armfield. S. W., "A comparison of Eulerian and Lagrangian schemes for the simulation of an incompressible planar jet", ANZIAM J. 45 (E), 2004, pp310–325.
- [9] Akhavan, R., Ansari, A., Kang, S., and Mangiavacchi, N. "Subgrid-Scale interaction in a Numerically Simulated Planar Turbulent Jet and Implication for Modeling", J Fluid Mech., 408, 2000, pp83-120.
- [10] Stanley, S.A., Sarkar, S., and Mellado, J.P., "A study of the flow-field evolution and mixing in a planar turbulent jet using direct numerical simulation", J Fluid Mech., 450, 2002, pp337-407.